

А. П. Кержаев<sup>1</sup>, И. В. Меньшова<sup>1,2</sup>, А. В. Никитин<sup>3</sup>

## О РЕШЕНИИ КРАЕВЫХ ЗАДАЧ ДЛЯ УПРУГОЙ ПОЛУПОЛОСЫ СО СМЕШАННЫМИ ГРАНИЧНЫМИ УСЛОВИЯМИ НА ТОРЦЕ

<sup>1</sup>Институт теории прогноза землетрясений и математической геофизики РАН,  
г. Москва, Россия

<sup>2</sup>Московский государственный технический университет им. Н.Э. Баумана,  
г. Москва, Россия

<sup>3</sup>Чебоксарский кооперативный институт (филиал) Российского университета кооперации,  
г. Чебоксары, Россия

**Аннотация.** В статье рассмотрена краевая задача теории упругости для полуполосы со смешанными граничными условиями на ее торце. Граничные условия на длинных сторонах соответствуют периодическому продолжению решения в полуплоскость, т.е. решение представляется в виде тригонометрических рядов Фурье. Построено точное решение задачи, основанное на использовании сопряженных тригонометрических рядов.

**Ключевые слова:** смешанная задача, полуполоса, тригонометрические ряды Фурье, сопряженные ряды.

DOI: 10.37972/chgpu.2023.57.3.003

УДК: 539.374

**1. Введение.** Смешанные краевые задачи теории упругости относятся к числу наиболее трудных. Им посвящено огромное количество исследований, обзор которых можно найти, например, в [1–4]. Классическим примером является задача для полуполосы со свободными длинными сторонами, часть торца которой жестко закреплена,

---

© Кержаев А. П., Меньшова И. В., Никитин А. В., 2023

*Кержаев Александр Петрович*

**e-mail:** alex\_kerg@mail.ru, кандидат физико-математических наук, старший научный сотрудник, Институт теории прогноза землетрясений и математической геофизики Российской академии наук, г. Москва, Россия.

*Меньшова Ирина Владимировна*

**e-mail:** menshovairina@yandex.ru, кандидат физико-математических наук, старший научный сотрудник, Институт теории прогноза землетрясений и математической геофизики Российской академии наук, г. Москва, Россия; доцент, Московский государственный технический университет им. Н.Э. Баумана, г. Москва, Россия.

*Никитин Андрей Витальевич*

**e-mail:** ligalas5@mail.ru, кандидат физико-математических наук, доцент, заведующий кафедрой информационных технологий, Чебоксарский кооперативный институт (филиал) Российского университета кооперации, г. Чебоксары, Россия

Поступила 20.10.2023

а к другой части приложена нагрузка. Общих методов построения точных решений (не сводящих краевую проблему к бесконечным системам алгебраических уравнений) такого рода задач, насколько нам известно, нет.

Предлагаемый в этой статье метод решения смешанных краевых задач в полуполосе не зависит от вида однородных граничных условий на ее длинных сторонах (свободные стороны, жестко защемленные, подкрепленные ребрами жесткости). Это могут быть тригонометрические ряды или, в общем случае, ряды по собственным функциям Папковича–Фадля [5]. Метод основан на использовании сопряженных рядов. Для перехода к сопряженным рядам вводятся аналитические функции (например, [5]). Окончательное решение задачи будет представляться двойными рядами по собственным функциям краевой задачи.

Чтобы максимально упростить задачу и избежать непринципиальных трудностей, будем считать, что граничные условия на длинных сторонах полуполосы выбраны так, что собственными функциями являются хорошо известные тригонометрические системы функций.

**2. Постановка краевой задачи.** Рассмотрим полуполосу  $\{П : x \geq 0, |y| \leq 1\}$ . Будем считать, что на длинных сторонах полуполосы  $y = \pm 1$  поперечные перемещения и касательные напряжения равны нулю, т.е.

$$v(x, \pm 1) = \tau_{xy}(x, \pm 1) = 0. \quad (1)$$

На торце полуполосы заданы следующие граничные условия:

при  $|y| \leq \alpha$  ( $0 < \alpha < 1$ ) заданы нормальное и нулевое касательное напряжения

$$\sigma_x(0, y) = \sigma(y), \quad \tau_{xy}(0, y) = 0, \quad (2)$$

а на участках  $\alpha < |y| \leq 1$  граничные условия соответствуют скользящей заделке, т.е.

$$u(0, y) = 0, \quad \tau_{xy}(0, y) = 0, \quad (3)$$

где  $u(x, y)$  – перемещение в направлении оси  $x$  (схема задачи показана на рис. 1). Из (2), (3) следует, что на всем отрезке  $|y| \leq 1$

$$\tau_{xy}(0, y) = 0. \quad (4)$$

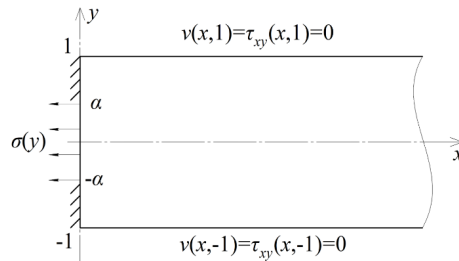


Рис. 1. Схема смешанной задачи для полуполосы

Решение задачи ищется в виде следующих рядов [6]:

$$\sigma_x(x, y) = a_0 - \sum_{k=1}^{\infty} [(1 + \nu)a_k q_k^3 + 2b_k q_k^2 + x(1 + \nu)b_k q_k^3] e^{q_k x} \cos q_k y,$$

$$\begin{aligned}\sigma_y(x, y) &= \nu a_0 + \sum_{k=1}^{\infty} [(1 + \nu) a_k q_k^3 + 2(2 + \nu) b_k q_k^2 + x(1 + \nu) b_k q_k^3] e^{q_k x} \cos q_k y, \\ \tau_{xy}(x, y) &= \sum_{k=1}^{\infty} [(1 + \nu) a_k q_k^3 + (3 + \nu) b_k q_k^2 + x(1 + \nu) b_k q_k^3] e^{q_k x} \sin q_k y, \\ U(x, y) &= b_0 + \frac{1 - \nu}{2} a_0 x - \frac{1 + \nu}{2} \sum_{k=1}^{\infty} [a_k q_k^2 + b_k q_k + x b_k q_k^2] e^{q_k x} \cos q_k y, \\ V(x, y) &= \sum_{k=1}^{\infty} \left[ \frac{1 + \nu}{2} a_k q_k^2 + 2b_k q_k + x \frac{1 + \nu}{2} b_k q_k^2 \right] e^{q_k x} \sin q_k y.\end{aligned}\tag{5}$$

Здесь  $U(x, y)$ ,  $V(x, y)$  – умноженные на модуль сдвига перемещения  $u(x, y)$ ,  $v(x, y)$  соответственно;  $\nu$  – коэффициент Пуассона;  $a_0$ ,  $b_0$ ,  $a_k$ ,  $b_k$  – неизвестные коэффициенты;  $q_k = -k\pi$ .

**3. Решение задачи.** Примем вначале, что  $a_0 = b_0 = 0$ . Используя, например, [5], введем функцию

$$F(y) = - \left[ (1 + \nu) \frac{\partial U(0, y)}{\partial y} + \frac{1 - \nu}{2} \tau_{xy}(0, y) \right] - i \sigma_x(0, y).\tag{6}$$

Подставив сюда (5), получим

$$\begin{aligned}\operatorname{Re} F(y) &= - \sum_{k=1}^{\infty} [(1 + \nu) a_k q_k + 2b_k] q_k^2 \sin q_k y, \\ \operatorname{Im} F(y) &= \sum_{k=1}^{\infty} [(1 + \nu) a_k q_k + 2b_k] q_k^2 \cos q_k y.\end{aligned}\tag{7}$$

Выразим с помощью (4)  $b_k$  через  $a_k$ ,

$$b_k = - \frac{1 + \nu}{3 + \nu} a_k q_k,\tag{8}$$

и подставим в (7). Тогда получим

$$\begin{aligned}\operatorname{Re} F(y) &= - \sum_{k=1}^{\infty} A_k q_k \sin q_k y, \\ \operatorname{Im} F(y) &= \sum_{k=1}^{\infty} A_k q_k \cos q_k y, \quad A_k = \frac{(1 + \nu)^2}{3 + \nu} a_k q_k^2.\end{aligned}\tag{9}$$

Ряды (7) или (9) называются сопряженными [7, 8]. Если, скажем, первый ряд (9) проинтегрировать или проинтегрировать по переменной  $y$ , то полученный ряд по-прежнему называется сопряженным ко второму ряду (9). Например, ряд

$$\sum_{k=1}^{\infty} A_k \cos q_k y\tag{10}$$

сопряжен к ряду

$$\sum_{k=1}^{\infty} A_k q_k \cos q_k y.\tag{11}$$

Обозначим ( $k, m = 1, 2, \dots$ )

$$C_{km} = \int_{-\alpha}^{\alpha} \cos q_k y \cos q_m y dy = \begin{cases} \alpha + \frac{\sin \alpha(q_k + q_m)}{q_k + q_m} & (k = m), \\ \frac{\sin \alpha(q_k + q_m)}{q_k + q_m} + \frac{\sin \alpha(q_k - q_m)}{q_k - q_m} & (k \neq m) \end{cases} \quad (12)$$

и вместо (10), (11) введем сопряженные ряды ( $|y|, |t| \leq 1$ )

$$\begin{aligned} F_U(y, t) &= \sum_{m=1}^{\infty} \cos(q_m y) \sum_{k=1}^{\infty} \frac{C_{km}}{q_k} \cos(q_k t), \\ F_{\sigma}(y, t) &= \sum_{m=1}^{\infty} q_m \cos(q_m y) \sum_{k=1}^{\infty} \frac{C_{km}}{q_k} \cos(q_k t). \end{aligned} \quad (13)$$

Их можно рассматривать как аналоги рядов (10) и (11). Представление сопряженных рядов с дополнительным параметром  $t$  позволяет сделать их не зависящими от вида раскладываемой функции.

Умножим второй ряд (13) на функцию  $\sigma(t)$ , фигурирующую в (2), и проинтегрируем по  $t$  от  $-1$  до  $1$ . В результате получим представление функции

$$\sigma_x(0, y) = \sum_{m=1}^{\infty} q_m \cos(q_m y) \sum_{k=1}^{\infty} \frac{C_{km}}{q_k} \sigma_k, \quad \sigma_k = \int_{-\alpha}^{\alpha} \sigma(t) \cos q_k t dt \quad (14)$$

при  $|y| \leq 1$  такое, что при  $|y| < \alpha$

$$\sigma(y) = \sum_{m=1}^{\infty} q_m \cos(q_m y) \sum_{k=1}^{\infty} \frac{C_{km}}{q_k} \sigma_k. \quad (15)$$

Учитывая, что в формуле (6) касательные напряжения равны нулю, заключаем, что ряд, сопряженный к ряду (15), является представлением функции  $U(0, y)$ , т.е.

$$U(0, y) = \sum_{m=1}^{\infty} \cos(q_m y) \sum_{k=1}^{\infty} \frac{C_{km}}{q_k} \sigma_k. \quad (16)$$

Из сравнения рядов (10), (16) и (11), (15) видно, что

$$A_m = \sum_{k=1}^{\infty} \frac{C_{km}}{q_k} \sigma_k. \quad (17)$$

Функция (16) равна нулю при  $|y| \geq \alpha$  (это становится очевидным после перестановки порядков суммирования). Но фактически она будет равна некоторой постоянной, что обусловлено самоуравновешенностью базисных функций при  $|y| \leq 1$ . По этой причине кривая (16) будет лежать выше или ниже оси  $y$  и, следовательно, не будет равна нулю при  $|y| \geq \alpha$  вопреки граничному условию (3). Сдвинем ее так, чтобы  $U(0, \pm\alpha) = 0$ . Тогда вместо (17) получим формулу

$$A_k^* = \sum_{m=1}^{\infty} \frac{\sigma_m}{q_m} \left( C_{km} - \frac{2 \sin q_k \alpha}{q_k} \cos q_m \alpha \right). \quad (18)$$

Поэтому, согласно (9), (8),

$$a_k = -\frac{3 + \nu}{(1 + \nu)^2} \frac{A_k^*}{q_k^2}, \quad b_k = \frac{1}{1 + \nu} \frac{A_k^*}{q_k}. \quad (19)$$

Так как на торце полуполосы нормальные напряжения  $\sigma_x(0, y)$  всегда самоуравновешены, то  $a_0 = 0$ , а коэффициент  $b_0$  можно считать равным  $-U(0, 1)$ .

Подставляя (19) в (5), получим решение краевой задачи (1)–(3).

**4. Пример.** Пусть  $\sigma(y)$  самоуравновешена и

$$\sigma(y) = y^4 - \frac{6}{5}\alpha^2 y^2 + \frac{1}{5}\alpha^4. \quad (20)$$

Найдем числа  $\sigma_m$  из (14), затем числа  $A_k^*$  по формуле (18) и, наконец, коэффициенты (19), входящие в решение (5).

Примем  $\alpha = 0.5$ ,  $\nu = 0.3$  и приведем некоторые графики, иллюстрирующие полученное решение (рис. 2, 3). Напряжения определялись в сечении  $x = 0.01$ , а перемещения – при  $x = 0$ . В формулах для напряжений и перемещений при суммировании удерживалось 100 членов ряда.

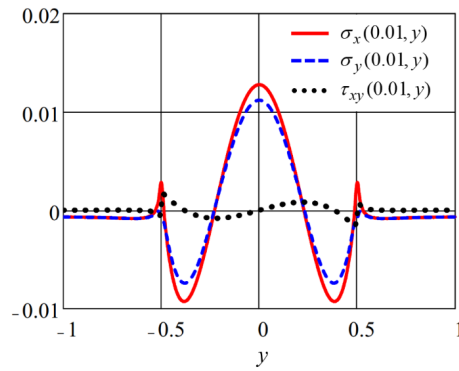


Рис. 2. Распределение напряжений при  $x = 0.01$

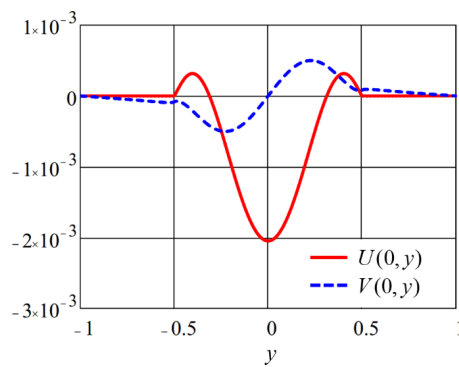


Рис. 3. Распределение перемещений при  $x = 0$

Обратим внимание на график функции  $U(0, y)$  (рис. 3). Производная этой функции в точках  $y = \pm\alpha$  имеет не равное нулю конечное значение. Поэтому напряжения  $\sigma_x(\pm\alpha, y)$  и  $\sigma_y(\pm\alpha, y)$  будут иметь при  $x = \pm\alpha$  логарифмические особенности. Если в

формуле (20) заменить  $\alpha$  на  $\beta$  и считать, что  $\beta < \alpha$ , т.е. что ненулевые нормальные напряжения  $\sigma(y)$  заданы строго внутри интервала  $|y| \leq \alpha$ , то производная функции  $U(0, y)$  при  $y = \pm\alpha$  будет равна нулю и, значит, нормальные напряжения в этих точках будут ограничены.

Для того чтобы посчитать напряжения при очень маленьких значениях переменной  $x$ , в том числе при  $x = 0$ , нужно взять больше членов ряда. Однако решающее значение имеет точность собственных значений.

## 5. Выводы.

- (1) Основным недостатком полученного решения является то, что коэффициенты разложений в смешанной краевой задаче не выражаются через элементарные функции, а представляются в виде бесконечных рядов. Это приводит к определенным трудностям вычислительного характера при подсчете напряжений на торце полуполосы, т.к. в этом случае требуется высокая точность в определении собственных значений (десятки значащих цифр после запятой).
- (2) Несомненным достоинством решения является то, что оно представляется в простом замкнутом виде. При этом не возникает необходимости в исследовании и решении интегральных уравнений или бесконечных систем алгебраических уравнений.
- (3) Аналогично решаются более сложные задачи, например, когда часть торца полуполосы жестко закреплена, а на другой части действуют нагрузки, когда на торце полуполосы имеются одномерные упругие накладки, через которые передается нагрузка и т.д.
- (4) Метод применим для любых однородных граничных условий на длинных сторонах полуполосы (свободные стороны, жестко закрепленные и т.д.). В общем случае вместо тригонометрических функций в представлении решений будут фигурировать собственные функции Папковича–Фадля, теория которых была развита в статьях [9–12].

## ЛИТЕРАТУРА

- [1] The plane mixed problem for an elastic semi-strip under different load types at its short edge / O. Menshykov, O. Reut, V. Reut et al. // International Journal of Mechanical Sciences. 2018. Vol. 144. P. 526–530.
- [2] Pozhylenkov O., Vaysfeld N. Stress state of a rectangular domain with the mixed boundary conditions // Procedia Structural Integrity. 2020. Vol. 28. P. 458–463.
- [3] Ngoc N. V. On a mixed boundary value problem for the biharmonic equation in a strip // Acta Mathematica Vietnamica. 2017. Vol. 42. P. 395–411.
- [4] Read W. W. An analytic series method for Laplacian problems with mixed boundary conditions // Journal of Computational and Applied Mathematics. 2007. Vol. 209, no. 1. P. 22–32.
- [5] A boundary value problem in the theory of elasticity for a rectangle: exact solutions / M. D. Kovalenko, I. V. Menshova, A. P. Kerzhaev et al. // Zeitschrift für angewandte Mathematik und Physik. 2020. Vol. 71, no. 6. p. 199.
- [6] Меньшова И. В. О периодических решениях Файлона–Рибьера в двумерной задаче теории упругости // Вестник Чувашского государственного педагогического университета им. И.Я. Яковлева. Серия: Механика предельного состояния. 2015. № 1 (23). С. 106–131.
- [7] Бари Н. К. Тригонометрические ряды. М.: Физматгиз, 1961.
- [8] Зигмунд А. Тригонометрические ряды. М.: Мир, 1965. Т. 1, 2.
- [9] Kerzhaev A. P., Kovalenko M. D., Menshova I. V. Borel transform in the class W of quasi-entire functions // Complex Analysis and Operator Theory. 2018. Vol. 12, no. 3. P. 571–587.

- [10] Kovalenko M. D., Menshova I. V., Kerzhaev A. P. On the exact solutions of the biharmonic problem of the theory of elasticity in a half-strip // *Zeitschrift für angewandte Mathematik und Physik*. 2018. Vol. 69, no. 5. p. 121.
- [11] Коваленко М. Д., Меньшова И. В., Шуляковская Т. Д. Разложения по функциям Фадля–Папковича. Примеры решений в полуполосе // *Изв. РАН. МТТ*. 2013. № 5. С. 121–144.
- [12] Коваленко М. Д., Шуляковская Т. Д. Разложения по функциям Фадля–Папковича в полосе. Основы теории // *Изв. РАН. МТТ*. 2011. № 5. С. 78–98.

A. P. Kerzhaev<sup>1</sup>, I. V. Menshova<sup>1,2</sup>, A. V. Nikitin<sup>3</sup>

### ON SOLVING BOUNDARY VALUE PROBLEMS FOR AN ELASTIC HALF-STRIP WITH MIXED BOUNDARY CONDITIONS AT THE END

<sup>1</sup>*Institute of Earthquake Prediction Theory and Mathematical Geophysics, Russian Academy of Sciences, Moscow, Russia*

<sup>2</sup>*Bauman Moscow State Technical University, Moscow, Russia*

<sup>3</sup>*Cheboksary Cooperative Institute (Branch) of the Russian University of Cooperation, Cheboksary, Russia*

**Abstract.** The paper deals with a boundary value problem of the theory of elasticity for a half-strip with mixed boundary conditions at its end. The boundary conditions on the long sides correspond to the periodic continuation of the solution into a half-plane, i.e. the solution is represented in the form of trigonometric Fourier series. An exact solution to the problem based on the use of conjugate trigonometric series is constructed.

**Keywords:** mixed problem, half-strip, trigonometric Fourier series, conjugate series.

### REFERENCES

- [1] The plane mixed problem for an elastic semi-strip under different load types at its short edge / O. Menshykov, O. Reut, V. Reut et al. // *International Journal of Mechanical Sciences*. 2018. Vol. 144. P. 526–530.
- [2] Pozhylenkov O., Vaysfeld N. Stress state of a rectangular domain with the mixed boundary conditions // *Procedia Structural Integrity*. 2020. Vol. 28. P. 458–463.
- [3] Ngoc N. V. On a mixed boundary value problem for the biharmonic equation in a strip // *Acta Mathematica Vietnamica*. 2017. Vol. 42. P. 395–411.
- [4] Read W. W. An analytic series method for Laplacian problems with mixed boundary conditions // *Journal of Computational and Applied Mathematics*. 2007. Vol. 209, no. 1. P. 22–32.
- [5] A boundary value problem in the theory of elasticity for a rectangle: exact solutions / M. D. Kovalenko, I. V. Menshova, A. P. Kerzhaev et al. // *Zeitschrift für angewandte Mathematik und Physik*. 2020. Vol. 71, no. 6. p. 199.
- [6] Menshova I. V. On periodic Filon–Ribiere solutions in a two-dimensional problem of elasticity theory // *Vestn. Chuvash. Gos. Ped. Univ. im. I. Ya. Yakovleva. Ser.: Mekh. Pred. Sost.* 2015. no. 1 (23). P. 106–131.
- [7] Bari N. K. A treatise on trigonometric series. Oxford: Pergamon Press, 1964. Vol. I, II.

---

*Kerzhaev Alexander Petrovich*, Cand. Sc. (Phys.-Math.), Senior Researcher, Institute of Earthquake Prediction Theory and Mathematical Geophysics, Russian Academy of Sciences, Moscow, Russia.  
*Menshova Irina Vladimirovna*, Cand. Sc. (Phys.-Math.), Senior Researcher, Institute of Earthquake Prediction Theory and Mathematical Geophysics, Russian Academy of Sciences, Moscow, Russia; Associate Professor, Bauman Moscow State Technical University, Moscow, Russia.  
*Nikitin Andrey Vitalievich*, Cand. Sc. (Phys.-Math.), Associate Professor, Cheboksary Cooperative Institute (Branch) of the Russian University of Cooperation, Cheboksary, Russia.

- [8] Zygmund A. Trigonometric series. Cambridge: Cambridge University Press, 1959. Vol. I, II.
- [9] Kerzhaev A. P., Kovalenko M. D., Menshova I. V. Borel transform in the class  $W$  of quasi-entire functions // Complex Analysis and Operator Theory. 2018. Vol. 12, no. 3. P. 571–587.
- [10] Kovalenko M. D., Menshova I. V., Kerzhaev A. P. On the exact solutions of the biharmonic problem of the theory of elasticity in a half-strip // Zeitschrift für angewandte Mathematik und Physik. 2018. Vol. 69, no. 5. p. Art. 121.
- [11] Kovalenko M. D., Menshova I. V., Shulyakovskaya T. D. Expansions in Fadde–Papkovich functions: examples of solutions in a half-strip // Mechanics of Solids. 2013. Vol. 48, no. 5. P. 584–602.
- [12] Kovalenko M. D., Shulyakovskaya T. D. Expansions in Fadde–Papkovich functions in a strip. Theory foundations // Mechanics of Solids. 2011. Vol. 46, no. 5. P. 721–738.